

# 鲤鱼对纳米二氧化钛的生物富集

张学治, 孙红文\*, 张稚妍

(南开大学环境科学与工程学院, 天津 300071)

**摘要:** 建立了浓硫酸-硫酸铵酸化消解-ICP 测定水样及鱼样中纳米二氧化钛的方法, 并研究了纳米二氧化钛在鲤鱼(*Cyprinus carpio*)体内的富集。酸化消解-ICP 测定方法对 20.0 mg/L 纳米二氧化钛水样, 测定的相对标准偏差仅为 4.53%。纳米二氧化钛在水样和鱼样中的加标回收率分别为 94%~104% 和 90%~103%, 可以精确测定环境样品中纳米二氧化钛浓度。纳米二氧化钛在鱼体内有较高的富集, 暴露于 3 mg/L 和 10 mg/L 纳米二氧化钛悬浮液的鲤鱼, 25 d 时鱼体内的二氧化钛浓度分别达到 2.1 mg/g 和 5.8 mg/g。达到平衡时, BCF 分别为 675.5 和 595.4。纳米二氧化钛在鱼鳃、内脏中有很大程度的富集, 肌肉部分对纳米二氧化钛的富集最少。

**关键词:** 纳米二氧化钛; 纳米材料; 分析方法; 富集; 载带

中图分类号: X503.225; X132 文献标识码: A 文章编号: 0250-3301(2006)08-1631-05

## Bioaccumulation of Titanium Dioxide Nanoparticles in Carp

ZHANG Xuezhi, SUN Hongwen, ZHANG Zhryan

(College of Environmental Science and Engineering, Nankai University, Tianjin 300071, China)

**Abstract:** Analysis method for TiO<sub>2</sub> nanoparticles in water and fish samples was set up using ICP-AES after dissolved by solution of sulphuric acid and ammonium sulphate. Meanwhile bioaccumulation of TiO<sub>2</sub> nanoparticles was assessed by tests exposing carp (*Cyprinus carpio*) to TiO<sub>2</sub> nanoparticles suspensions. The relative standard deviation (RSD) for water sample of 20.0 mg/L TiO<sub>2</sub> is 4.53%, and the recoveries of TiO<sub>2</sub> nanoparticles in water and fish samples are ranging from 94%~104% and 90%~103%, which could ensure accurate measurement of TiO<sub>2</sub> nanoparticles. TiO<sub>2</sub> nanoparticles have a significant bioaccumulation by the carp, and TiO<sub>2</sub> nanoparticles concentrations in carp exposed to 3 mg/L and 10 mg/L TiO<sub>2</sub> nanoparticles suspensions for 25 days are 2.1 mg/g and 5.8 mg/g respectively, and the BCF values at equilibrium are 675.5 and 595.4 respectively. Significant As and TiO<sub>2</sub> accumulation occurs in viscera and gills of fish, while bioaccumulation of TiO<sub>2</sub> nanoparticles in muscle is relative small.

**Key words:** TiO<sub>2</sub> nanoparticles; nanomaterial; analysis method; bioaccumulation; facilitated transport

纳米材料具有小尺寸效应、表面效应、量子尺寸效应和宏观量子隧道效应等, 使得它们在化学化工、生物医学、复合材料、信息技术、催化剂等领域展示了广阔的应用前景<sup>[1~4]</sup>。目前, 全球有超过 140 家的厂家在从事纳米颗粒的生产。目前至少有 44 种元素的纳米形态已被开发出来, 并投入商业应用, 更多元素的纳米形态也将不断地开发出来<sup>[5]</sup>。在不久的将来, 随着制造成本的降低及新技术的不断开发, 会有越来越多的纳米材料排放到环境中去。然而, 迄今为止, 尚未找到能够证明纳米材料绝对安全的任何科学报道。相反, 有关纳米材料显示出毒性的报道却不断出现<sup>[6~9]</sup>。1997 年 Dunford 等<sup>[8]</sup>发现防晒霜中的纳米 TiO<sub>2</sub>、ZnO 能产生自由基, 损伤 DNA。2004 年 Oberdörster 等<sup>[9]</sup>报道了黑鲈(*Micropterus salmoides*)暴露于富勒烯 48 h 后, 脑组织产生严重的脂质过氧化, 同时鱼鳃谷胱甘肽(GSH)消耗到一种临界水平。

纳米二氧化钛是纳米材料中应用十分广泛的材料之一。它问世于上世纪 80 年代后期, 在日用化妆

品、涂料、环保等方面有着广阔的应用前景<sup>[10]</sup>。随着纳米二氧化钛的广泛使用, 越来越多的纳米二氧化钛进入水环境中。纳米二氧化钛进入水环境中后, 可能会有以下几个行为: 布朗运动形式的迁移、与水体中颗粒物的吸附、聚合、沉降、向生物相的富集等。然而, 对纳米二氧化钛在水环境中的行为研究目前尚未见报道。研究纳米二氧化钛在生物体内的富集, 对其安全评价具有重要的意义。因此, 本文建立了测定水体和生物体内纳米二氧化钛的酸化消解-ICP 分析方法, 以鲤鱼(*Cyprinus carpio*)为实验鱼种研究了纳米二氧化钛在水生生物体内的富集。

## 1 材料与方法

### 1.1 仪器与试剂

仪器: 电感耦合等离子体光谱仪 (IRIS Intrepid

收稿日期: 2005-09-28; 修订日期: 2005-11-23

基金项目: 教育部新世纪优秀人才项目

作者简介: 张学治(1976~), 男, 博士研究生, 主要研究方向为污染生态学和环境化学, E-mail: zhangxuezhi@nankai.edu.cn

\* 通讯联系人, E-mail: sunhongwen@nankai.edu.cn

II, 美国热电公司), 微波消解仪(WX-3 000 plus, 上海屹尧), 透射电子显微镜(Tecnai G<sup>2</sup> 20 S-TWIN 荷兰飞利浦).

试剂: 所用试剂除浓硫酸、浓硝酸为优级纯外, 其余均为分析纯.

分解液: 将 700 mL 浓硫酸加到 2 000 mL 烧杯中, 置于电炉上加热至沸, 立即加入 400 g 硫酸铵, 加热溶液, 然后自然冷却至室温, 装入 1 000 mL 广口瓶.

纳米二氧化钛储备液(1 000 mg/L): 称取 0.250 g 纳米二氧化钛(Degussa P25)于 250 mL 容量瓶中, 加蒸馏水, 摆匀, 定容至刻度. 使用前超声分散 10 min.

钛标准储备液(1 000 mg/L): 称取 417.00 mg 的纳米二氧化钛于 100 mL 烧杯中, 加入 30 mL 分解液, 加热溶解, 自然冷却后用蒸馏水稀释, 将此溶液移至 250 mL 容量瓶中, 用蒸馏水稀释至刻度, 用于 ICP 分析时的标准储备液.

### 1.2 鲤鱼(*Cyprinus carpio*)对纳米二氧化钛的生物富集实验

本实验采用鲤鱼购自市场, 为当年生鱼种, 平均体重 4.1 g ± 0.5 g, 平均体长 5.0 cm ± 0.9 cm. 实验前先在水族箱内驯养 2 周以上.

富集实验在 16 L 鱼缸内进行. 实验开始时, 在 2 个盛有 16 L 曝气的自来水的鱼缸中分别加入 48 mg 和 60 mg 纳米二氧化钛, 1 h 后各投加 25 头鲤鱼. 为保持纳米二氧化钛的悬浮状态, 鱼缸内昼夜充气, 每天换水 1 次. 实验期间水温度为 23 °C ± 2 °C, 自然光照. 每天喂食物 2 次. 第 2、5、10、15、20、25 d 时各取 4 尾鱼, 预处理后测定其中纳米二氧化钛浓度. 为了解纳米二氧化钛在鱼体内的分布情况, 于 20 d 时另取鱼 3 尾, 经多次冲洗后, 擦干表面、解剖, 将皮和鳞, 肉, 鳃, 内脏分开, 并测定各个部分纳米二氧化钛含量. 同时做对照实验, 对照组除无纳米二氧化钛外, 其他条件与实验组相同.

### 1.3 ICP-AES 测定水样及鱼样中的纳米二氧化钛

#### 1.3.1 水样预处理

取 25 mL 含纳米二氧化钛水样于 50 mL 烧杯中在电热板上蒸干水份. 再加 5 mL 分解液, 在电炉上加热分解. 待溶液变为无色透明时, 取下, 冷却, 转移至 25 mL 比色管中.

#### 1.3.2 鱼样预处理

鱼样经多次冲洗、烘干、粉碎、混匀后保存于干燥器中. 往消解罐中加入 0.20 g 鱼样, 4 mL HNO<sub>3</sub>,

密封后置于微波消解仪中消解 15 min, 消解条件见表 1. 消解后的鱼样转移到烧杯中蒸干, 加入 5 mL 分解液, 置于电炉上加热分解, 待二氧化钛分解后转移至 25 mL 容量瓶中.

表 1 微波消解条件

Table 1 Parameters of microwave digestion

阶段	温度/ °C	压力/ MPa	时间/ min
1	150	1	5
2	180	2	5
3	190	2	5

为了测定方法的回收率, 对处理后的鱼样进行加标. 鱼体经烘干, 粉碎后保存于干燥器中. 称取烘干后的鱼样 0.20 g 于聚四氟消解罐中, 准确加入 1 000 mg/L 纳米二氧化钛储备液 10 mL, 混匀, 蒸干. 其它处理方法同上.

#### 1.3.3 纳米二氧化钛的测定

含纳米二氧化钛水样, 鱼样经过预处理后, 释放出来的钛离子可直接用 ICP-AES 进行测定, 以空白和 10 mg/L 钛标液做工作曲线, 直接读出钛浓度, 通过换算即可得到纳米二氧化钛浓度.

仪器工作参数如下: 射频功率: 1 150 W; 雾化器压力: 0.207 MPa; 辅助气流量: 0.5 mL/min; 蠕动泵转速: 100 r/min; 积分时间: 短波 20 s, 长波 10 s; 分析线: 336.121 nm.

水样的预处理、测定以及和混合鱼样的消解、测定均做 3 个平行, 测定结果以 3 次测定的平均值 ± 标准偏差表示.

#### 1.4 水体中纳米二氧化钛的形貌表征

从鱼缸中部取出水样, 滴加到铜网上, 用透射电镜(TEM) 观察纳米二氧化钛颗粒的形貌.

## 2 结果与讨论

### 2.1 纳米二氧化钛的测定结果

#### 2.1.1 水样中纳米二氧化钛的测定结果

分别配制浓度为 5.0、10.0、20.0、40.0、60.0、80.0、100.0 mg/L 的纳米二氧化钛水样, 按以上方法预处理后用 ICP 测定, 结果见表 2. 由表中数据可见, 该方法测定水体中二氧化钛有很好的回收率, 回收率在 94% ~ 104% 之间.

对 20.0 mg/L 纳米二氧化钛悬浮液分别测定 5 次, 结果分别为 18.44 mg/L、18.65 mg/L、19.35 mg/L、20.24 mg/L、20.35 mg/L, 平均值和相对标准偏差分别为 19.41 mg/L 和 4.53%. 可见, 该方法测定水样中纳米二氧化钛有很好的重现性和较高的

**表 2 ICP 法对含纳米二氧化钛水样的测定结果**  
Table 2 Results of determination of  $\text{TiO}_2$  nanoparticles in water sample by ICP

水样浓度/ $\text{mg}\cdot\text{L}^{-1}$	测定结果/ $\text{mg}\cdot\text{L}^{-1}$	回收率/%
5.0	4.72	94.40
10.0	9.58	95.80
20.0	18.83	94.15
40.0	41.62	104.05
60.0	57.90	6.50
80.0	75.64	94.55
100.0	95.69	95.69

准确度。

取 10 次空白水样的平行测定结果, 按 IUPAC 规定( $c_{\text{DL}} = 3\delta/m$ , 其中,  $c_{\text{DL}}$  为检出限,  $\delta$  为空白测定值的标准偏差,  $m$  为工作曲线的斜率, 即灵敏度), 得出方法的检出限为  $2.0 \times 10^{-4} \text{ mg/mL}$ .

### 2.1.2 鱼样中纳米二氧化钛的测定

对 5 份鱼样进行加标回收实验(加标量为 50  $\text{mg/g}$ ), 回收率在 90% ~ 103% 之间. 说明该方法可以的准确测定生物样中纳米二氧化钛.

## 2.2 水体中纳米二氧化钛的形貌表征及浓度变化

### 2.2.1 水体中纳米二氧化钛的粒度与形貌

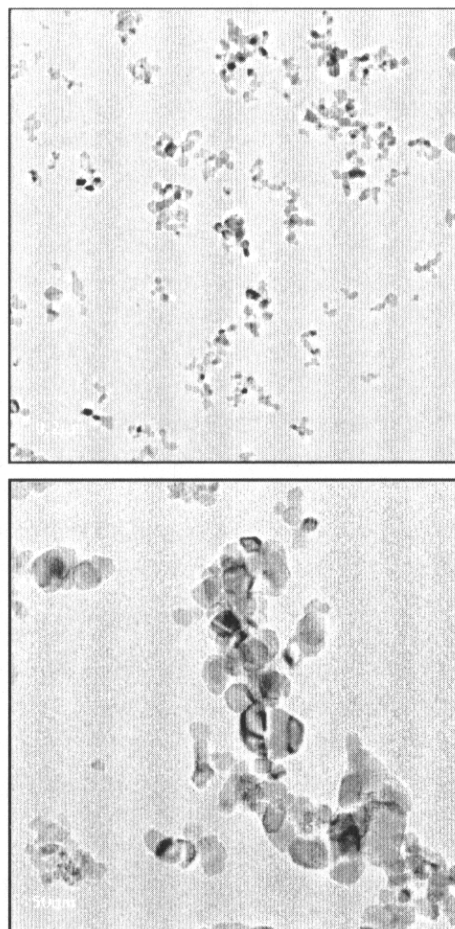
图 1 给出了水体中纳米二氧化钛的 TEM 照片, 由于纳米二氧化钛尺寸小, 比表面积大, 颗粒的比表面能高, 属于热力学不稳定体系, 再加上颗粒间的范德华力, 静电力等都将使纳米颗粒产生团聚. 从 TEM 照片上可以看出, 纳米二氧化钛在水体中多以团聚体形式存在. 但是由于纳米二氧化钛本身粒径较小(Degussa P25 的原生粒径为 20 nm), 与常规材料相比, 这些团聚体的尺寸也十分小, 约 80% 团聚体在 50~200 nm 之间.

### 2.2.2 水体中纳米二氧化钛的浓度变化

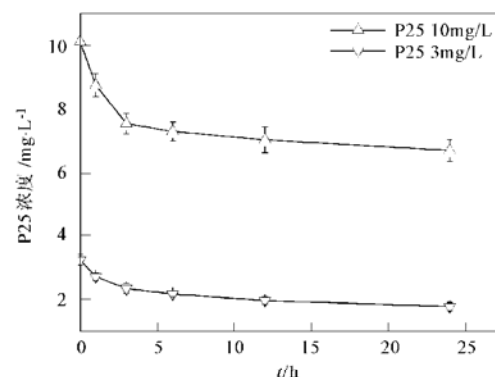
因团聚而形成的大颗粒二氧化钛在水中极易沉降. 图 2 是第 25d 内, 鱼缸内水体中的纳米二氧化钛浓度变化. 从图 2 可以看出, 即便在鱼的扰动和在连续充气的情况下, 水中的纳米二氧化钛也迅速沉降, 水中的纳米二氧化钛浓度随之下降, 当加入量为 10  $\text{mg/L}$  时, 水体中纳米二氧化钛浓度维持在 7  $\text{mg/L}$  左右; 加入量为 3  $\text{mg/L}$  时, 水体浓度为 2  $\text{mg/L}$ . 这样, 相对减少了浮游生物的暴露, 另一方面却增加了底泥中纳米二氧化钛的浓度, 从而增加了底栖生物的风险性.

### 2.3 鲤鱼对纳米二氧化钛的富集结果

鲤鱼对纳米二氧化钛的富集动力学曲线如图 3



**图 1 水溶液中纳米二氧化钛的 TEM 照片**  
Fig. 1 TEM images of  $\text{TiO}_2$  nanoparticles in water



**图 2 水体中纳米二氧化钛的浓度变化**  
Fig. 2 Change of  $\text{TiO}_2$  nanoparticles concentration in water

所示. 从图 3 可以看出, 鱼体对纳米二氧化钛有明显的富集能力, 在最初的前 10 d 内鱼体内纳米二氧化钛浓度迅速增加, 然后增速趋于平缓, 暴露于 3  $\text{mg/L}$  及 10  $\text{mg/L}$  的 P25 二氧化钛 25 d 时, 鲤鱼体内的纳米二氧化钛浓度分别达到 2.1  $\text{mg/g}$  和 5.8  $\text{mg/g}$ .

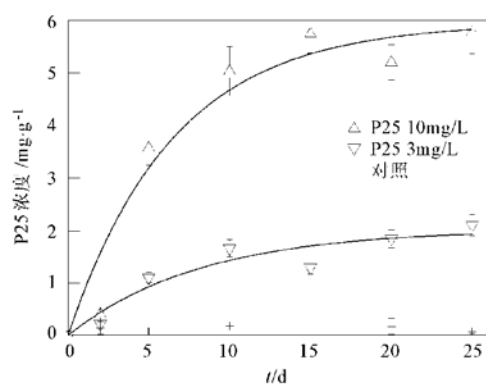


图3 鲤鱼对纳米二氧化钛的富集动力学

Fig. 3 Accumulation kinetics of TiO<sub>2</sub> nanoparticles in carp鲤鱼对纳米二氧化钛的富集可用下式描述<sup>[11]</sup>:

$$c_t = A \cdot (1 - e^{-Bt})$$

式中,  $c_t$  为  $t$  时刻鱼体纳米二氧化钛含量(mg/g); $A$  为平衡时鱼体纳米二氧化钛含量(mg/g); $B$  为富集速率常数(1/d); $t$  为暴露时间(d).

生物对污染物累积的程度通常用生物浓缩因子(BCF)表示:

$$BCF = \frac{\text{污染物在鱼体内的浓度}(\text{mg/g})}{\text{污染物在水中的浓度}(\text{mg/L})} \times 1000$$

表3列出了鲤鱼对纳米二氧化钛富集的指数方程中  $A$  和  $B$  的值以及基于平衡浓度的 BCF 值。在 3 mg/L 及 10 mg/L 水平下, 用指数方程拟合的  $A$  值分别为 2.03 mg/g 和 5.95 mg/g, 与 25d 时的测定值非常接近(2.1 mg/g 和 5.8 mg/g)。 $B$  值分别为 0.122 d<sup>-1</sup> 和 0.154 d<sup>-1</sup>, 表明在较高浓度下, 纳米二氧化钛有较快的富集速率。而平衡时的 BCF 值, 在 3 mg/L 及 10 mg/L 水平下, 分别为 675.5 和 595.7, 表现在较高浓度水平下, 具有较低的 BCF。这与其它污染物的富集行为类似, Radenac 等<sup>[12]</sup>的研究表明, 暴露于 5 mg/L、25 mg/L、500 mg/L Zn 的海胆类幼体对 Zn 富集的 BCF 分别为 3 540、1 575 和 707。

表3 鲤鱼富集纳米二氧化钛的指数方程拟合参数及 BCF

Table 3 Parameters of the exponential regression and BCF of TiO<sub>2</sub> nanoparticles accumulation in carp

P25 浓度/mg·L⁻¹	A/mg·g⁻¹	B/d⁻¹	R²	BCF
3	2.03	0.122	0.914	675.5
10	5.95	0.154	0.945	595.4

研究表明, 鱼体对污染物的吸收途径包括消化

道的进食摄取、呼吸道吸收和皮肤的体表吸收 3 种途径<sup>[13]</sup>。鲤鱼在 2 种浓度纳米二氧化钛悬浮液中暴露 20 d 后解剖, 将皮和鳞, 肉, 鳃, 内脏分开, 纳米二氧化钛在鲤鱼组织中的积累结果如图 4 所示。从图 4 可以看出, 纳米二氧化钛在鱼鳃、内脏中有很大程度的富集, 肌肉部分对纳米二氧化钛的富集最少。富集顺序为内脏> 鳃> 皮和鳞> 肌肉。

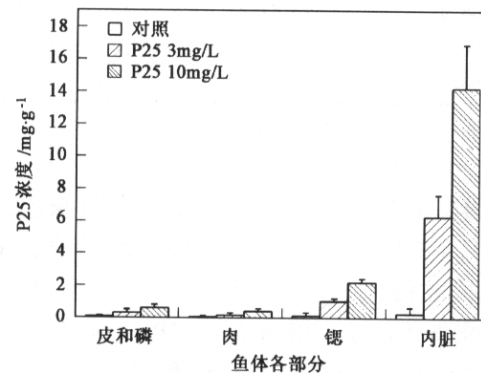


图4 纳米二氧化钛在鲤鱼体内的分布

Fig. 4 TiO<sub>2</sub> concentrations in different parts of carp

表4列出了鱼各部分对纳米二氧化钛富集的 BCF 值, 可见, 在 2 种暴露情况下, 内脏对纳米二氧化钛的富集系数都远远大于其他部位, 鳃的富集系数也较高, 皮和鳞的富集系数略高于肌肉。

表4 鱼各部分对纳米二氧化钛的 BCF 值

Table 4 BCF for TiO<sub>2</sub> in different parts of carp

P25 浓度/mg·L⁻¹	皮和鳞	肉	鳃	内脏
3	103.3	52.5	348.5	2 096.7
10	61.0	43.2	222.3	1 426.0

鱼是生态环境中重要的食物链, 又是人类的主要食物源之一, 纳米二氧化钛在鱼体内的富集增加了其自身的生态风险性。另一方面, 纳米材料比表面积大, 粒子表面的原子数多, 周围缺少相邻原子, 存在许多空键, 故具有很强的吸附能力<sup>[14~16]</sup>。污染物被纳米粒子吸附后, 必将会影响污染物的迁移转化。Maia 等<sup>[17]</sup>的研究表明, 把泼尼卡酯(prednicarbate, 一种医药中间体)固定于固相脂质纳米颗粒后, 其对皮肤的穿透性比膏状泼尼卡酯增强了 30%。Kreuter<sup>[18]</sup>的研究表明, 6 环胜肽类(hexapeptide)亮氨酸脑啡肽(dalargin)镇痛药以及阿霉素(doxorubicin, 一种抗肿瘤抗生素)已经成功地被聚合纳米颗粒载带通过鼠的血脑屏障。不幸的是, 污染物也可以被纳米材料所载带, 就像药物被载带一样。自然环境是由多个介质组成的复杂体系, 环境污染

多数是由多种污染物组成的复合体系污染。因此,对纳米材料环境行为的研究不能仅仅局限于其自身的迁移、生物富集等,其对污染物迁移、转化、富集的影响也应引起足够的重视。

### 3 结论

(1) 水环境中纳米二氧化钛分析方法的建立是研究其环境行为的基础。纳米二氧化钛可被硫酸-硫酸铵分解为钛离子,以此为基础,建立了水样及鱼样中纳米二氧化钛的酸化消解-ICP 测定方法。纳米二氧化钛在水样和鱼样中的加标回收率分别为 94%~104% 和 90%~103%。该方法可用于实际环境样品的测定。

(2) 鲤鱼对纳米二氧化钛的生物富集实验表明,纳米二氧化钛在水生生物体内有较高的富集速率和富集程度,在 3 mg/L 及 10 mg/L 水平下,用指数方程拟合的富集初始速率分别为  $0.122 \text{ d}^{-1}$  和  $0.154 \text{ d}^{-1}$ ,平衡浓度分别为 2.03 mg/g 和 5.95 mg/g,对应的 BCF 分别为 675.5 和 595.4。二氧化钛在鱼体不同部位的富集趋势不一样,在鱼鳃、内脏中的富集程度较大,肌肉部分对纳米二氧化钛的富集最少。

(3) 纳米二氧化钛在鱼体内的富集一方面增加了其自身的生态风险性,另一方面由于纳米二氧化钛颗粒比表面积大,吸附能力强,污染物被纳米颗粒吸附后,必将会对污染物的迁移、转化、生物富集等产生影响,对此应引起足够的重视。

### 参考文献:

- [ 1 ] Králik M, Biffis A. Catalysis by metal nanoparticles supported on functional organic polymers [ J ]. *J. Mol. Catal. A: Chem.*, 2001, **177**(1): 113~138.
- [ 2 ] Long Q R, Yang R T. Carbon nanotubes as superior sorbent for dioxin removal [ J ]. *J. Am. Chem. Soc.*, 2001, **123**: 2058~2059.
- [ 3 ] Kipp J E. The role of solid nanoparticle technology in the parenteral delivery of poorly water-soluble drugs [ J ]. *Int. J. Pharm.*, 2004, **284**: 109~122.
- [ 4 ] Kong J, Franklin R N, Zhou C W, et al. Nanotube molecular wires as chemical sensors [ J ]. *Science*, 2000, **287**: 622~625.
- [ 5 ] ETC Group. No small matter II: The case for a global moratorium. Occasional paper series, 2003, **7**(1), [http://www.etcgroup.org/documents/Occ\\_Paper\\_Nanosafety.pdf](http://www.etcgroup.org/documents/Occ_Paper_Nanosafety.pdf)
- [ 6 ] 金一和, 孙鹏, 张颖花. 纳米材料对人体的潜在性影响问题 [ J ]. *自然杂志*, 2001, **5**: 306~307.
- [ 7 ] Service R F. Nanomaterials show signs of toxicity [ J ]. *Science*, 2003, **300**(11): 243.
- [ 8 ] Dunford R, Salinaro A, Cai L, et al. Chemical oxidation and DNA damage catalysed by inorganic sunscreen ingredients [ J ]. *FEBS Lett.*, 1997, **418**: 87~90.
- [ 9 ] Oberdörster E. Manufactured nanomaterials (fullerenes, C60) induce oxidative stress in the brain of juvenile largemouth bass [ J ]. *Environ. Health. Persp.*, 2004, **112**(10): 1058~1062.
- [ 10 ] 沈伟韧, 赵文宽, 贺飞, 等.  $\text{TiO}_2$  光催化反应及其在废水处理中的应用 [ J ]. *化学进展*, 1998, **10**(04): 3~15.
- [ 11 ] Pendleton W G, Whitworth R M, Olsen H G. Accumulation and loss of arsenic and boron, alone and in combination, in Mallard ducks [ J ]. *Environ. Toxicol. Chem.*, 1995, **14**(8): 1357~1364.
- [ 12 ] Radenac G, Fichet D, Miramand P. Bioaccumulation and toxicity of four dissolved metals in *Paracentrotus lividus* sea urchin embryo [ J ]. *Mar. Environ. Res.*, 2001, **51**: 151~166.
- [ 13 ] Pedlar R M, Klaverkamp J F. Accumulation and distribution of dietary arsenic in lake whitefish [ J ]. *Aquat. Toxicol.*, 2002, **57**: 153~166.
- [ 14 ] Jimmy C, Yu X J, Wu Z L. Separation and determination of Cr(III) by titanium dioxide-filled column and inductively coupled plasma mass spectrometry [ J ]. *Analyt. Chim. Acta*, 2001, **436**: 59~67.
- [ 15 ] Liang P, Qin Y C, Hu B, et al. Nanometer-size titanium dioxide microcolumn off-line preconcentration of trace metals and their determination by inductively coupled plasma atomic emission spectrometry in water [ J ]. *Analyt. Chim. Acta*, 2001, **440**: 207~213.
- [ 16 ] Dutta K P, Ray K A, Sharma K V, et al. Adsorption of arsenite and arsenite on titanium dioxide suspensions [ J ]. *J. Colloid. Interface Sci.*, 2004, **278**: 270~275.
- [ 17 ] Maia S C, Mehnert W, Schafer-Korting M. Solid lipid nanoparticles as drug carriers for topical glucocorticoids [ J ]. *Int. J. Pharm.*, 2000, **196**: 165~167.
- [ 18 ] Kreuter J. Nanoparticulate systems for brain delivery of drugs [ J ]. *Adv. Drug Deliv. Rev.*, 2001, **47**: 65~81.